

УДК 531.383

## **Передача сигналов ориентации стоячей волны, преобразуемых ёмкостными датчиками, в волновом твердотельном гироскопе**

А. А. Захаров.

Проведён анализ формирования и прохождения сигналов ориентации стоячей волны по синусному и косинусному каналам от резонатора до аналого-цифровых преобразователей (АЦП) в волновом твердотельном гироскопе (ВТГ) при неподвижном основании ВТГ. Используя электрический аналог математической модели конденсатора переменной ёмкости и символический метод расчёта электрических цепей, найдены аналитические зависимости сигналов на входах буферных усилителей от параметров измерительных цепей ёмкостных датчиков при питании их от источников постоянного и переменного напряжения. Получены выражения сигналов ориентации с выходов АЦП с учётом наличия отклонений коэффициентов передачи и нулевых сигналов промежуточных блоков. Проведено исследование влияния указанных погрешностей на периодическую ошибку измерения угла ориентации стоячей волны.

Ключевые слова: интегрирующий волновой твердотельный гироскоп, угол положения (ориентации) стоячей волны, методическая периодическая ошибка, сигнал, ёмкостные датчики радиального перемещения оболочки резонатора, буферный усилитель, дифференциальный усилитель-сумматор, синхронный детектор, аналого-цифровой преобразователь.

### **1. Задачи исследования**

В последнее время для угловой ориентации движущихся объектов находит применение интегрирующий волновой твердотельный гироскоп (ВТГ-ИГ) [1...3]. Чувствительный элемент ВТГ-ИГ представляет собой упругую тонкую оболочку вращения – резонатор, предназначенный для поддержания в нем незатухающих механических колебаний оболочки в виде стоячей волны. На основании, под резонатором, установлены датчики углового положения стоячей волны. В качестве них в данной работе рассматриваются (как наиболее распространённые) ёмкостные датчики радиального перемещения оболочки резонатора. Сигналы датчиков усиливаются и складываются таким образом, что в результате образуются два оцифрованных сигнала  $A_s$ ,  $A_c$ , соответственно зависящие от  $\sin \theta$  и  $\cos \theta$  (по выходам каналов « $A_s$ » и « $A_c$ »). Исходя из уровней  $A_s$ ,  $A_c$ , при штатной работе резонатора в режиме параметрического возбуждения, электронный вычислительный блок (ВБ) ВТГ-ИГ непрерывно подсчитывает значения угла ( $\theta$  [рад]) положения стоячей волны (ориентации пучностей волны

относительно основания) и значения угла ( $\psi$  [рад]) поворота основания гироскопа вокруг его оси чувствительности (оси резонатора) относительно инерциального пространства. Подсчёт значений  $\psi$  осуществляется в соответствии с известной [2,3] формулой

$$\psi = -\theta/K, \quad (1.1)$$

где  $K$  – масштабный коэффициент ВТГ, по данным [1...3]  $K=0,28...0,31$ .

На рис.1 показаны измерительные электроды ёмкостных датчиков Д1...Д8 (связанные с основанием ВТГ), образующая линия металлизированной стенки оболочки резонатора (окружность - при отсутствии стоячей волны и эллипс - при наличии стоячей волны в момент времени  $t$  [с]) и указанные углы. Здесь также приведён угол ( $\phi$  [рад]) по телу основания вдоль окружности, включающей поверхности измерительных электродов.

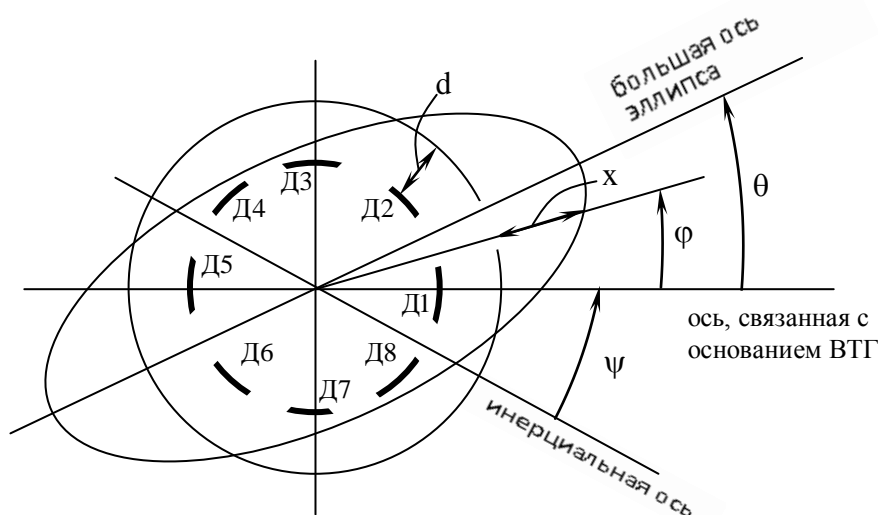


Рис. 1

При некачественном формировании и (или) преобразовании сигналов, поступающих от датчиков угла ( $\theta$ ) положения стоячей волны по каналам «As» и «Ac» выходные сигналы функционально могут иметь вид:  $A_s=A_1 \cdot \sin 2\theta + c_1$ ,  $A_c=A_2 \cdot \cos 2\theta + c_2$  (где:  $A_1>0$ ,  $A_2>0$  и  $c_1$ ,  $c_2$  – коэффициенты пропорциональности [мВ] и нулевые сигналы [мВ] зависимостей  $A_s(\sin 2\theta)$ ,  $A_c(\cos 2\theta)$ , соответственно;  $A_1 \neq A_2$  и (или)  $c_1 \neq 0$ ,  $c_2 \neq 0$ ). (При норме  $A_1=A_2$  и  $c_1=0$ ,  $c_2=0$ ). И появляется периодическая ошибка  $\Delta\theta(\theta)$ . (На тему этой методической ошибки автором готовится статья к публикации в «Трудах МАИ» одновременно с данной статьёй). В

соответствии с (1.1) возникает также периодическая ошибка расчёта параметра  $\psi$ . У гироскопов ВТГ-ИГД (с цифровым дифференцированием [4] последовательности значений  $\psi$ ) имеются также соответствующие периодические ошибки определения приращений угла  $\psi$  и угловой скорости.

Для проработки алгоритмов компенсации указанной ошибки, необходимо рассмотреть структуру каналов «As» и «Ac». Анализ формирования и передачи сигналов по этим каналам с нахождением факторов, способствующих возникновению ошибки, является главной задачей настоящей работы. В ходе исследования просматривались выражения сигналов ёмкостных датчиков перемещения в зависимости от параметров измерительной цепи. К сожалению, вывод формул в [5] проведён только для условий питания измерительной схемы постоянным напряжением, краток и недостаточно ясен. В [6] имеется формула тока ёмкостного датчика при питании его переменным напряжением, но при отсутствии в цепи активного сопротивления. В последнее время измерительные схемы ВТГ с ёмкостными датчиками используются с питанием переменным напряжением [7] и с последовательным включением датчика и входа буферного усилителя (при значительном активном входном сопротивлении усилителя). Соответственно возникла необходимость вывода выражений сигналов датчика применительно к ВТГ при питании схемы от источников как постоянного, так и переменного напряжения. Такова дополнительная задача проводимого исследования, и решение её представлено с помощью построения электрической модели конденсатора переменной ёмкости.

## **2. Условия и параметры начального этапа формирования сигналов ёмкостных датчиков**

Сначала остановимся на физической сущности образования сигналов, связанной с геометрией колеблющегося резонатора. Пусть  $d$  – радиальный зазор [мм] между круговой образующей металлизированной стенки оболочки (см. рис. 1) и окружностью, включающей поверхности измерительных электродов датчиков Д1...Д8. Радиальный зазор ( $d_z$  [мм]) между эллипсовидной образующей металлизированной стенки оболочки резонатора и окружностью, включающей поверхности измерительных электродов равен:

$$d_z = d + x.$$

$x$  – смещение [мкм] кромки тонкой полусферической оболочки в радиальном направлении при колебаниях в момент времени  $t$ ; в соответствии с [8] (при пренебрежении малыми квадратурными колебаниями, аналогично [3]) имеем

$$x = x_{\text{мх}} \cdot \cos 2(\varphi - \theta) \cdot \cos(\omega_r t + \psi_r),$$

где:  $x_{\text{мк}}$  – амплитуда [мкм] радиальных колебаний кромки резонатора;  $\omega_r$  – угловая частота [рад/с] колебаний резонатора;  $\psi_r$  – начальная фаза [рад] колебаний.

Обычно для расчётов принимают:

$$|x|/d \ll 1.$$

Так в [8] рассматривается ВТГ с  $x_{\text{мк}} < 6$  мкм,  $d \geq 100$  мкм. Обозначим через  $x_\varphi$  экстремальное радиальное смещение [мкм] кромки для данного угла  $\varphi$ .

$$x_\varphi = x_{\text{мк}} \cdot \cos 2(\varphi - \theta).$$

Каждый ёмкостный датчик перемещения (например Д1) представляет собой конденсатор, обкладками которого являются измерительный электрод и металлизированная стенка резонатора, а диэлектриком – газовая среда близкая к вакуумной. Расстояние ( $d_{\text{zn}}$ ) между обкладками датчика с порядковым номером «n» и смещение ( $x_n$ ) его подвижной обкладки принимаются равными соответствующим значениям под серединой электрода этого датчика. При этом угол  $\varphi_n$  является углом  $\varphi$ , соответствующим середине дуги измерительного электрода n-ого датчика:

$$\varphi_n = (n-1) \cdot \pi/4. \quad (2.1)$$

Аналогично предыдущему:

$$d_{\text{zn}} = d + x_{\varphi_n}; \quad (2.2)$$

$$x_n = x_{\varphi_n} \cdot \cos(\omega_r t + \psi_r); \quad (2.3)$$

$$|x_n|/d \ll 1; |x_{\varphi_n}|/d \ll 1; \quad (2.4)$$

$$x_{\varphi_n} = x_{\text{мк}} \cdot \cos 2(\varphi_n - \theta),$$

где  $x_{\varphi_n}$  – экстремальное смещение  $x_\varphi$  для данного угла  $\varphi_n$  (для n-ого датчика).

Из последнего выражения с подстановкой (2.1) имеем

$$x_{\varphi_n} = x_{\text{мк}} \cdot \sin(n\pi/2 - 2\theta). \quad (2.5)$$

Поскольку  $x_{\varphi_{(n+4)}} = x_{\text{мк}} \cdot \sin(n\pi/2 + 4\pi/2 - 2\theta) = x_{\varphi_n}$ , то из (2.3) следует

$$x_{n+4} = x_n. \quad (2.6)$$

Пусть  $C_0, C_n$  – электроёмкости [Ф] n-го датчика соответственно при отсутствии и наличии стоячей волны. Поскольку ёмкость плоского конденсатора обратно пропорциональна зазору между обкладками [5,6,9], то, используя (2.2), (2.3), имеем

$$C_n = \frac{C_0 \cdot d}{d_{\text{zn}}} = \frac{C_0}{1 + \frac{x_n}{d}} = \frac{C_0}{1 + \left(\frac{x_{\varphi_n}}{d}\right) \cdot \cos(\omega_r t + \psi_r)}. \quad (2.7)$$

Из (2.6) и (2.7) также следует

$$C_{n+4} = C_n. \quad (2.8)$$

Рассмотрим рис. 2, где показана электрическая цепь, соответствующая схеме подключения электропитания (источника ЭДС  $E$  [В]) к металлизации резонатора при работе одного измерительного электрода. Внутренним сопротивлением источника, по сравнению с сопротивлениями металлизации ( $r$  [Ом]) и входным сопротивлением ( $R$  [Ом]) буферного усилителя БУ, пренебрегаем. Обозначим через  $u$  напряжение [В] на ёмкости  $C_n$ . Поскольку заряд указанного конденсатора равен произведению  $u \cdot C_n$  [б], а его ток ( $i$  [А]) определяется производной заряда по времени ( $t$ ), то при переменной ёмкости  $C_n$

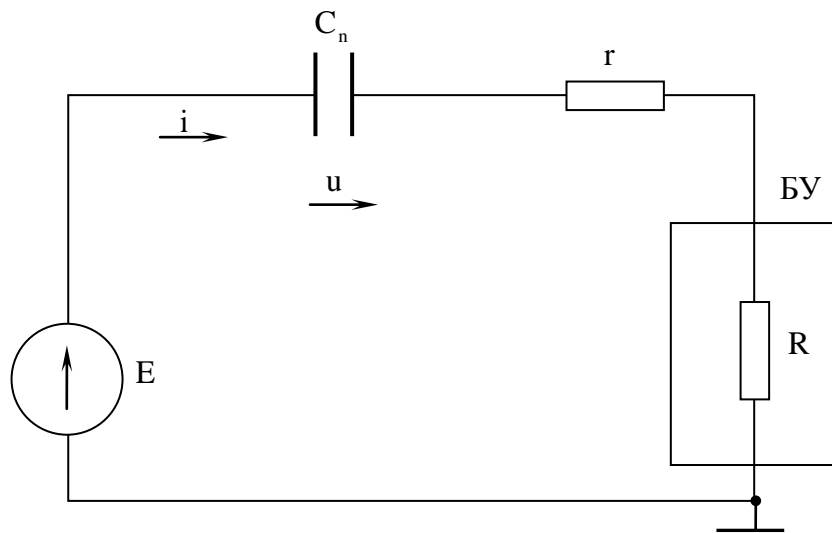


Рис. 2

$$i = C_n \cdot \frac{du}{dt} + u \cdot \frac{dC_n}{dt}, \quad (2.9)$$

где  $\frac{du}{dt}$ ,  $\frac{dC_n}{dt}$  - производные по  $t$ . Дифференцируем (2.7) (с учётом (2.4)):

$$\begin{aligned} \frac{dC_n}{dt} &= C_0 \cdot \left( 1 + \left( \frac{x_{\varphi n}}{d} \right) \cdot \cos(\omega_r t + \psi_r) \right)^{-2} \cdot \frac{x_{\varphi n}}{d} \cdot \omega_r \cdot \sin(\omega_r t + \psi_r) \approx \\ &\approx C_0 \cdot \left( \frac{x_{\varphi n}}{d} \right) \cdot \omega_r \cdot \sin(\omega_r t + \psi_r). \end{aligned} \quad (2.10)$$

На рис. 3 можно представить схему, эквивалентную схеме рис. 2. Мгновенные значения токов, обозначенные на рис. 3, в соответствии с (2.9) равны

$$i_1 = C_n \cdot \frac{du}{dt}; \quad (2.11)$$

$$i_2 = u \cdot \frac{dC_n}{dt}. \quad (2.12)$$

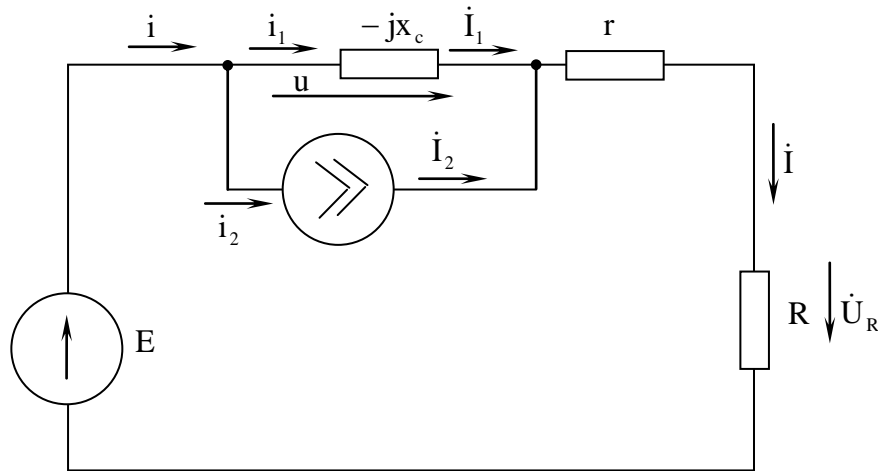


Рис. 3

Исходя из структуры (2.11), (2.12) и законов электротехники, ток  $i_2$  рассматривается как образованный источником тока с бесконечно большим внутренним сопротивлением, а  $i_1$  (при переменном напряжении  $u$ ) – как проходящий по ёмкостному сопротивлению  $x_c$  [Ом]. При этом допустимо применить метод решения с использованием соответствующих комплексных токов  $\dot{I}$ ,  $\dot{I}_1$ ,  $\dot{I}_2$  и комплекса  $(-j x_c)$  ёмкостного сопротивления  $x_c$  [Ом].

### 3. Сигналы ёмкостных датчиков при питании измерительных электродов от источника постоянной ЭДС

Пусть ЭДС  $E$  источника питания имеет постоянное значение  $E_0$  [В] (см. рис. 4а). В дальнейшем нас будут интересовать составляющие токов, изменяющиеся с угловой частотой  $\omega_r$  резонатора. И для этой частоты электрические параметры обозначаются с индексом «r». Ёмкостное сопротивление  $x_{cr}$  [Ом] из (2.7) равно:

$$x_{cr} = \frac{1}{C_n \cdot \omega_r} = \frac{1}{C_0 \cdot \omega_r} \cdot \left(1 + \frac{x_n}{d}\right) = x_{cr0} + x_{cr\approx}, \quad (3.1)$$

где  $x_{cr0}$ ,  $x_{cr\approx}$  - постоянная и переменная составляющие ёмкостного сопротивления  $x_{cr}$  (см. (2.3).

$$x_{cr0} = \frac{1}{C_0 \cdot \omega_r}; \quad x_{cr\approx} = \frac{1}{C_0 \cdot \omega_r} \cdot \frac{x_n}{d} = \frac{1}{C_0 \cdot \omega_r} \cdot \left(\frac{x_{\varphi n}}{d}\right) \cdot \cos(\omega_r t + \psi_r). \quad (3.2)$$

Из (2.4), (3.1), (3.2) имеем

$$x_{cr} \approx x_{cr0}. \quad (3.3)$$

Постоянная составляющая тока  $i_r$ , протекающего через ёмкость  $C_n$ , равна нулю. Так что постоянная составляющая ( $u_{r0}$ ) напряжения  $u_r$  по закону Киргофа:

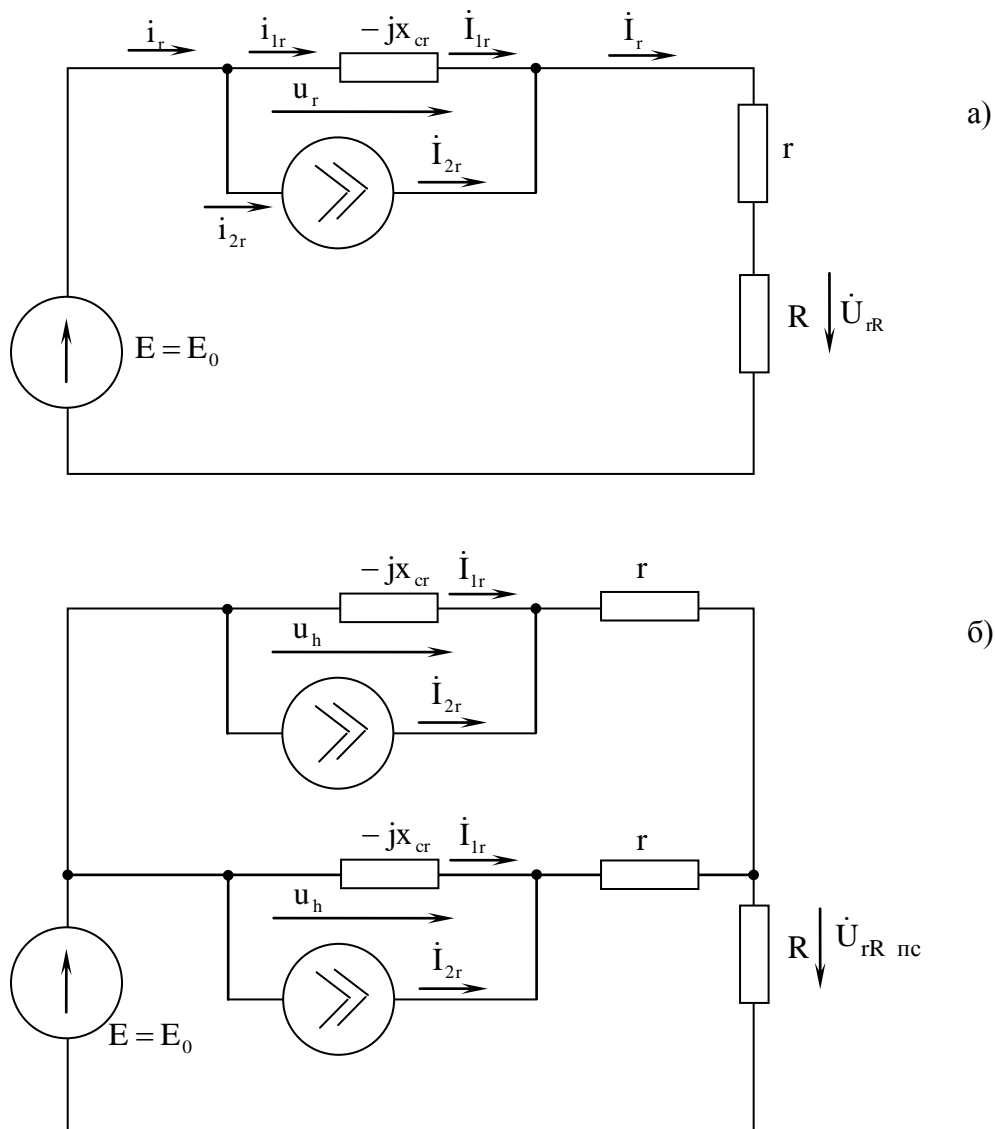


Рис. 4

$$u_{r0} = E_0. \quad (3.4)$$

Ток  $i_{2r}$  с учётом (2.4), (2.10), (2.12), (3.1), (3.2), (3.4) равен

$$i_{2r} = E_0 \cdot C_0 \cdot \left( \frac{X_{\varphi n}}{d} \right) \cdot \omega_r \cdot \sin(\omega_r t + \psi_r) = E_0 \cdot \left( \frac{X_{\varphi n}}{d \cdot X_{cr0}} \right) \cdot \sin(\omega_r t + \psi_r).$$

Соответственно комплексная функция этого тока  $\dot{I}_{2r} \cdot e^{j\omega_r t}$ , а комплексное (действующее) значение этого тока

$$\dot{\mathbf{I}}_{2r} = \frac{E_0 \cdot x_{\varphi n}}{\sqrt{2} \cdot d \cdot x_{cr0}} \cdot e^{j\psi_r}. \quad (3.5)$$

По законам Киргофа (с учётом (3.3)) имеем систему уравнений:

$$\dot{\mathbf{I}}_r = \dot{\mathbf{I}}_{1r} + \dot{\mathbf{I}}_{2r}; \quad \dot{\mathbf{I}}_r \cdot (r + R) + \dot{\mathbf{I}}_{1r} \cdot (-j x_{cr0}) = 0.$$

Решаем эту систему относительно неизвестного тока  $\dot{\mathbf{I}}_r$ .

$$\dot{\mathbf{I}}_r = -\dot{\mathbf{I}}_{2r} \cdot \frac{j x_{cr0}}{r + R - j x_{cr0}} = -\dot{\mathbf{I}}_{2r} \cdot \frac{j x_{cr0}}{z_r \cdot e^{j\varphi_r}}, \quad (3.6)$$

где  $z_r, \varphi_r$  – модуль и аргумент комплексного сопротивления цепи.

$$z_r = \sqrt{(r + R)^2 + x_{cr0}^2}, \quad \varphi_r = -\arctg \frac{x_{cr0}}{r + R}.$$

Подставляя (3.5) в (3.6), окончательно имеем:

$$\dot{\mathbf{I}}_r = \frac{E_0 \cdot x_{\varphi n}}{\sqrt{2} \cdot d \cdot z_r} \cdot e^{j(\psi_r - \varphi_r - \pi/2)}. \quad (3.7)$$

(При  $x_{cr0}/R \ll 1$ ,  $z_r = r + R$ ,  $\varphi_r = 0$ , и  $\dot{\mathbf{I}}_r (x_{cr0}/R \ll 1) = \frac{E_0 \cdot x_{\varphi n}}{\sqrt{2} \cdot d \cdot (r + R)} \cdot e^{j(\psi_r - \pi/2)}$ .)

Найденный комплекс тока отвечает [8], где приведена формула модуля).

Соответственно из (3.7) (по закону Ома) комплексное (действующее) напряжение на входе усилителя:

$$\dot{\mathbf{U}}_{rR} = \frac{E_0 \cdot x_{\varphi n} \cdot R}{\sqrt{2} \cdot d \cdot z_r} \cdot e^{j(\psi_r - \varphi_r - \pi/2)} = \frac{E_0 \cdot x_{\varphi n} \cdot R}{\sqrt{2} \cdot d \cdot z_r} \cdot e^{j\psi_{ur}},$$

где  $\psi_{ur}$  – начальная фаза напряжения на входе усилителя.  $\psi_{ur} = \psi_r - \varphi_r - \pi/2$ .

И мгновенное значение напряжения на входе усилителя имеет вид:

$$u_{rRn} = \frac{E_0 \cdot x_{\varphi n} \cdot R}{d \cdot z_r} \cdot \sin(\omega_r t + \psi_{ur}).$$

Схема замещения (рис. 4б) позволяет аналогично предыдущему определить комплексное напряжение на входе усилителя при параллельном соединении (пс) двух ёмкостных датчиков (двух противоположных измерительных электродов) и одном буферном усилителе. Учитывая (2.8), имеем:

$$\dot{\mathbf{U}}_{rR_{пс}} = \frac{\sqrt{2} \cdot E_0 \cdot x_{\varphi n} \cdot R}{d \cdot z_{rпс}} \cdot e^{j(\psi_r - \varphi_{rпс} - \pi/2)},$$

где  $z_{rпс} = \sqrt{(r + 2 \cdot R)^2 + x_{cr0}^2}$ ;  $\varphi_{rпс} = -\arctg \frac{x_{cr0}}{r + 2 \cdot R}$ .

#### 4. Сигналы ёмкостных датчиков при питании измерительных электродов от источника переменной ЭДС

Пусть ЭДС источника  $E$  цепи рис. 2 изменяется синусоидально с угловой частотой  $\omega_h$  [рад/с]. И соответствующие этой частоте параметры на схеме замещения (см. рис. 5) помечены индексом «h». Так что ЭДС  $E$  изменяется по закону:

$$E = \sqrt{2} \cdot E_h \sin(\omega_h t + \psi_E),$$

где  $E_h$  – действующее значение ЭДС [В];  $\psi_E$  – начальная фаза колебаний [рад]. Ёмкостное сопротивление ( $x_{ch}$  [Ом]), с учётом (2.3), (2.7), равно:

$$x_{ch} = \frac{1}{C_n \cdot \omega_h} = \frac{1}{C_0 \cdot \omega_h} \cdot \left(1 + \frac{x_n}{d}\right) = x_{ch0} \cdot \left(1 + \frac{x_n}{d}\right) = x_{ch0} + x_{ch\approx}, \quad (4.1)$$

где  $x_{ch0}$ ,  $x_{ch\approx}$  – постоянная и переменная составляющие ёмкостного сопротивления  $x_h$ ,

$$x_{ch0} = \frac{1}{C_0 \cdot \omega_h}; \quad x_{ch\approx} = x_{ch0} \cdot \frac{x_n}{d} = x_{ch0} \cdot \left(\frac{x_{\varphi n}}{d}\right) \cdot \cos(\omega_r t + \psi_r). \quad (4.2)$$

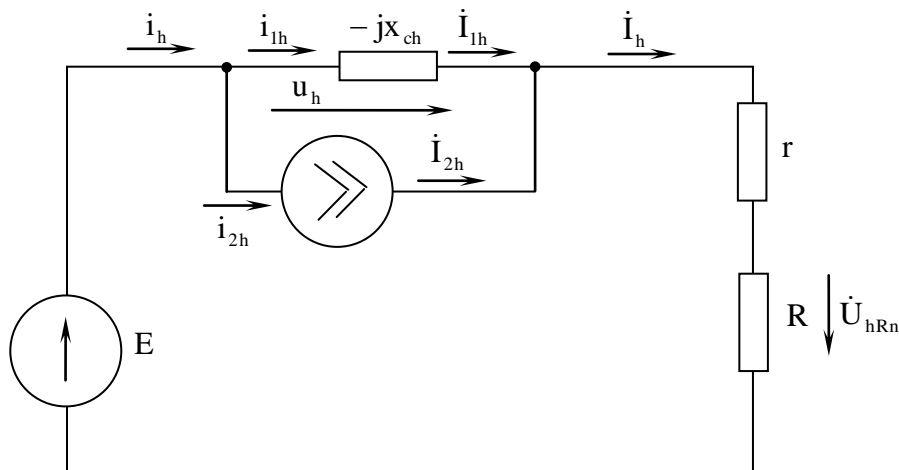


Рис. 5

Из (2.4), (4.1), (4.2) следует

$$x_{ch} \approx x_{ch0}, \quad (4.3)$$

а также видно, что переменная составляющая ёмкостного сопротивления ( $x_{ch\approx}$ ) изменяется с частотой резонатора  $\omega_r$ . Наличие переменной и постоянной составляющих ёмкостного сопротивления при синусоидальном питании вызывает появление в ветвях цепи составляющих токов и напряжений, в виде синусоид (с несущей частотой  $\omega_h$ ) с постоянной и переменной амплитудами. Синусоиды с постоянной амплитудой обозначены индексом «са». Синусоиды с

переменной амплитудой (изменяющейся с частотой  $\omega_r$ ) обозначены индексом «va». Оставшиеся составляющие с гармониками более высоких порядков – незначительны, и ими можно пренебречь.

Таким образом, напряжение на ёмкости

$$u_h = u_{hca} + u_{hva}.$$

Ток, протекающий по сопротивлению  $R$ ,

$$i_h = i_{hca} + i_{hva}. \quad (4.4)$$

Токи, протекающие в первой (по сопротивлению  $x_h$ ) и второй ветви (через источник тока) цепи:

$$i_{1h} = i_{1hca} + i_{1hva}. \quad (4.5)$$

$$i_{2h} = i_{2hca} + i_{2hva}. \quad (4.6)$$

Согласно принципу суперпозиции, применим законы Киргофа отдельно для синусоид с постоянной и переменной амплитудами:

$$i_{1hca} + i_{2hca} = i_{hca}. \quad (4.7)$$

$$i_{1hva} + i_{2hva} = i_{hva}. \quad (4.8)$$

Ток, протекающий во второй ветви и определяемый источником тока,

$$i_{2h} = u_h \cdot \frac{dC_n}{dt}. \quad (4.9)$$

Поскольку здесь амплитуда второго сомножителя изменяется с низкой частотой  $\omega_r$  (см.

(2.10)), то в составе тока  $i_{2h}$  отсутствует составляющая с постоянной амплитудой ( $i_{2hca} = 0$ ), а

для наличия в  $i_{2h}$  составляющей с переменной амплитудой, в составе  $u_h$  необходимо

присутствие  $u_{hca}$ . Так что с учётом (4.6), (4.7), (4.9)

$$i_{2h} = i_{2hva} = u_{hca} \cdot \frac{dC_n}{dt}. \quad (4.10)$$

$$i_{1hca} = i_{hca}. \quad (4.11)$$

Находим комплексные значения токов (4.11) с использованием закона Ома и (4.3).

$$\dot{I}_{hca} = \dot{I}_{1hca} = \frac{E_h}{r + R - jx_{ch0}} \cdot e^{j\psi_E} = \frac{E_h}{Z_h} \cdot e^{j(\psi_E - \varphi_h)}. \quad (4.12)$$

где  $Z_h, \varphi_h$  – модуль и аргумент комплексного сопротивления цепи.

$$Z_h = \sqrt{(r + R)^2 + x_{ch0}^2}, \quad \varphi_h = -\arctg \frac{x_{ch0}}{r + R} = -\arctg \frac{1}{\omega_h \cdot C_0 \cdot (r + R)}.$$

Комплекс составляющей ( $u_{hca}$ ) напряжения  $u_h$  по закону Ома из (4.12) равен

$$\dot{U}_{hca} = \dot{I}_{lhca} \cdot (-j X_{ch0}) = \frac{E_h \cdot X_{ch0}}{Z_h} \cdot e^{j(\psi_E - \varphi_h - \pi/2)} \quad (4.13)$$

В соответствии с (2.10), (4.10), (4.13)

$$\begin{aligned} \dot{I}_{2h} = \dot{I}_{2hva} &= \dot{U}_{hca} \cdot \frac{dC_n}{dt} = \frac{E_h \cdot X_{ch0}}{Z_h} \cdot e^{j(\psi_h - \varphi_h - \pi/2)} \cdot C_0 \cdot \left( \frac{X_{\varphi n}}{d} \right) \cdot \omega_r \cdot \sin(\omega_r t + \psi_r) = \\ &= \frac{E_h \cdot X_{ch0} \cdot X_{\varphi n}}{Z_h \cdot d \cdot X_{cr0}} \cdot e^{j(\psi_E - \varphi_h - \pi/2)} \cdot \sin(\omega_r t + \psi_r). \end{aligned} \quad (4.14)$$

На основании (4.8) и 2-го закона Киргофа для комплексов составляющих токов и напряжений с переменной амплитудой, имеем систему уравнений:

$$\dot{I}_{lhva} = \dot{I}_{hva} - \dot{I}_{2hva}. \quad (4.15)$$

$$\dot{I}_{lhca} \cdot (-j X_{ch\approx}) + \dot{I}_{lhva} \cdot (-j X_{ch0}) + \dot{I}_{hva} \cdot (r + R) = 0. \quad (4.16)$$

Подставляя (4.15) в (4.16), решаем систему относительно неизвестного комплекса  $\dot{I}_{hva}$ , с учётом (4.2), (4.12), (4.14).

$$\begin{aligned} \dot{I}_{hva} &= \frac{j X_{ch\approx} \cdot \dot{I}_{lhca} - j X_{ch0} \cdot \dot{I}_{2hva}}{r + R - j X_{ch0}} = \dot{I}_{lhca} \cdot \frac{X_{ch\approx} \cdot e^{j\pi/2}}{Z_h \cdot e^{j\varphi_h}} + \dot{I}_{2hva} \cdot \frac{X_{ch0} \cdot e^{-j\pi/2}}{Z_h \cdot e^{j\varphi_h}} = \\ &= \frac{E_h}{Z_h} \cdot e^{j(\psi_E - \varphi_h)} \cdot \frac{X_{ch0} \cdot X_{\varphi n} \cdot e^{j\pi/2}}{Z_h \cdot d \cdot e^{j\varphi_h}} \cdot \cos(\omega_r t + \psi_r) + \\ &+ \frac{E_h \cdot X_{ch0} \cdot X_{\varphi n}}{Z_h \cdot d \cdot X_{cr0}} \cdot e^{j(\psi_E - \varphi_h - \pi/2)} \cdot \frac{X_{ch0} \cdot e^{-j\pi/2}}{Z_h \cdot e^{j\varphi_h}} \cdot \sin(\omega_r t + \psi_r) = \\ &= \frac{E_h \cdot X_{ch0} \cdot X_{\varphi n}}{Z_h^2 \cdot d} \cdot e^{j(\psi_E - 2\varphi_h + \pi/2)} \cdot \cos(\omega_r t + \psi_r) + \\ &+ \frac{E_h \cdot X_{ch0}^2 \cdot X_{\varphi n}}{Z_h^2 \cdot d \cdot X_{cr0}} \cdot e^{j(\psi_E - 2\varphi_h - \pi)} \cdot \sin(\omega_r t + \psi_r). \end{aligned} \quad (4.17)$$

Амплитуда второго слагаемого меньше первого в  $X_{cr0}/X_{ch0} = \omega_h/\omega_r$  раз. Обычно отношение  $\omega_h/\omega_r$  составляет [7,8] примерно 100. Тогда, принимая

$$\omega_h \gg \omega_r, \quad (4.18)$$

вторым слагаемым в (4.17) можно пренебречь и считать:

$$\dot{I}_{hva} \approx \frac{E_h \cdot X_{ch0} \cdot X_{\varphi n}}{Z_h^2 \cdot d} \cdot e^{j(\psi_E - 2\varphi_h + \pi/2)} \cdot \cos(\omega_r t + \psi_r). \quad (4.19)$$

Так что комплексное значение тока, протекающего по сопротивлению  $R$ , в соответствии с (4.4), (4.12), (4.19), равно

$$\begin{aligned} \dot{I}_h &= \dot{I}_{hca} + \dot{I}_{hva} \approx \frac{E_h}{z_h} \cdot e^{j(\psi_E - \varphi_h)} + \frac{E_h \cdot x_{ch0} \cdot x_{\varphi n}}{z_h^2 \cdot d} \cdot e^{j(\psi_E - 2\varphi_h + \pi/2)} \cdot \cos(\omega_r t + \psi_r) = \\ &= \frac{E_h}{z_h} \cdot e^{j\psi_{ph}} + \frac{E_h \cdot x_{ch0} \cdot x_{\varphi n}}{z_h^2 \cdot d} \cdot e^{j\psi_{qh}} \cdot \cos(\omega_r t + \psi_r), \end{aligned} \quad (4.20)$$

где:  $\psi_{ph} = \psi_E - \varphi_h$ ;  $\psi_{qh} = \psi_E - 2\varphi_h + \pi/2$ .

Комплексы тока  $\dot{I}_h$  и его составляющих при условии (4.18) можно также получить другим способом. По закону Ома (используя (4.1) и принимая  $a = x_n/d$ ) имеем

$$\dot{I}_h \approx \frac{E_h}{r + R - jx_{ch}} \cdot e^{j\psi_E} = \frac{E_h}{r + R - jx_{ch0} \cdot (1 + a)} \cdot e^{j\psi_E}.$$

Проведём линеаризацию функции  $\dot{I}_h(a)$  в точке  $a = 0$  с учётом (2.3), (4.3).

$$\begin{aligned} \dot{I}_h &\approx \dot{I}_h(a=0) + \frac{d\dot{I}_h}{da} \cdot \frac{x_n}{d} = \frac{E_h \cdot e^{j\psi_E}}{r + R - jx_{ch0}} + \frac{E_h \cdot e^{j\psi_E} \cdot jx_{ch0}}{(r + R - jx_{ch})^2 \cdot d} \cdot x_{\varphi n} \cdot \cos(\omega_r t + \psi_r) \approx \\ &\approx \frac{E_h}{z_h} \cdot e^{j(\psi_E - \varphi_h)} + \frac{E_h \cdot x_{ch0} \cdot x_{\varphi n}}{z_h^2 \cdot d} \cdot e^{j(\psi_E - 2\varphi_h + \pi/2)} \cdot \cos(\omega_r t + \psi_r). \end{aligned}$$

Последнее выражение полностью совпадает с (4.20).

Комплексное напряжение (соответствующее  $n$ -ому датчику) на входе буферного усилителя (по закону Ома из (4.20)):

$$\dot{U}_{hRn} = \frac{E_h \cdot R}{z_h} \cdot e^{j\psi_{ph}} + \frac{E_h \cdot R \cdot x_{ch0} \cdot x_{\varphi n}}{z_h^2 \cdot d} \cdot e^{j\psi_{qh}} \cdot \cos(\omega_r t + \psi_r).$$

Исходя из выражения комплексной функции  $\dot{U}_{hRn} \cdot e^{j\omega_h t}$ , запишем закон изменения напряжения на входе буферного усилителя:

$$\begin{aligned} u_{hRn} &= \frac{\sqrt{2} \cdot E_h \cdot R}{z_h} \cdot \sin(\omega_h t + \psi_{ph}) + \\ &+ \frac{\sqrt{2} \cdot E_h \cdot R \cdot x_{ch0} \cdot x_{\varphi n}}{z_h^2 \cdot d} \cdot \sin(\omega_h t + \psi_{qh}) \cdot \cos(\omega_r t + \psi_r). \end{aligned} \quad (4.21)$$

Так что напряжение  $u_{hRn}$  представляет собой амплитудно-модулированный сигнал.

## 5. Формирование выходных сигналов положения стоячей волны

Запишем результаты расчёта (по (2.5)) экстремального смещения  $x_{\varphi n}$  кромки оболочки резонатора для каждого из 8-ми ёмкостных датчиков:

$$\text{для } n = 1 \quad x_{\varphi 1} = x_{\text{мк}} \cdot \cos 2\theta; \quad \text{для } n = 2 \quad x_{\varphi 2} = x_{\text{мк}} \cdot \sin 2\theta; \quad (5.1)$$

$$\text{для } n = 3 \quad x_{\varphi 3} = -x_{\text{мк}} \cdot \cos 2\theta = -x_{\varphi 1}; \quad \text{для } n = 4 \quad x_{\varphi 4} = -x_{\text{мк}} \cdot \sin 2\theta = -x_{\varphi 2}; \quad (5.2)$$

$$\text{для } n = 5 \quad x_{\varphi 5} = x_{\text{мк}} \cdot \cos 2\theta = x_{\varphi 1}; \quad \text{для } n = 6 \quad x_{\varphi 6} = x_{\text{мк}} \cdot \sin 2\theta = x_{\varphi 2}; \quad (5.3)$$

$$\text{для } n = 7 \quad x_{\varphi 7} = -x_{\text{мк}} \cdot \cos 2\theta = -x_{\varphi 1}; \quad \text{для } n = 8 \quad x_{\varphi 8} = -x_{\text{мк}} \cdot \sin 2\theta = -x_{\varphi 2}. \quad (5.4)$$

Рассмотрим формирование сигналов ориентации стоячей волны при неподвижном гироскопе на примере применения ёмкостных преобразователей с питанием от источника переменного напряжения [7]. Схема соединений функциональных блоков (см. рис.6) может выглядеть следующим образом.

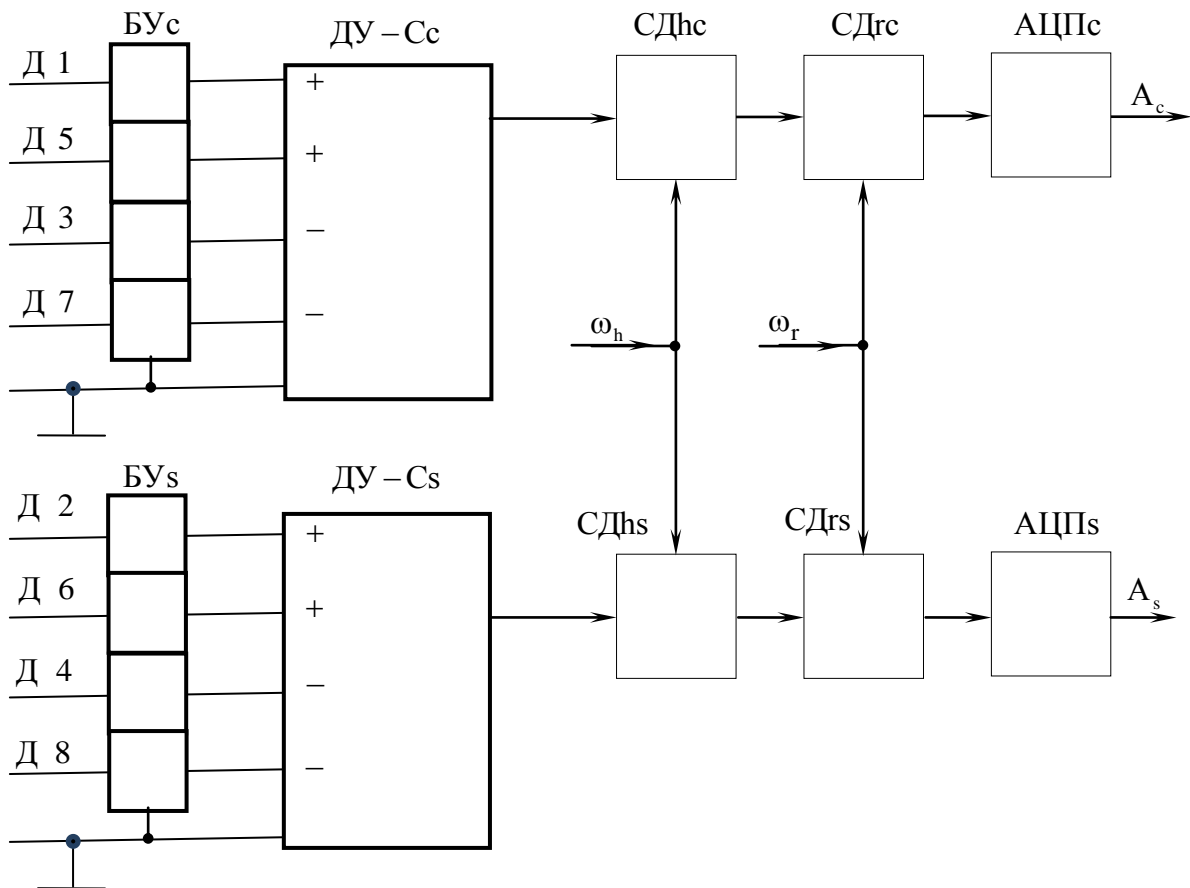


Рис. 6

Сигналы датчиков Д1...Д8 разбиваются на два канала: косинусный («Ac») и синусный («As»). В дальнейшем сигналы, параметры и блоки, обозначенные индексами «с» и «s» будут

соответственно принадлежать косинусному и синусному каналам. Индекс «н» соответствует номинальным режимам. Датчики Д1, Д5, Д3, Д7 присоединены к буферным усилителям БУс, а датчики Д2, Д6, Д4, Д8 – к буферным усилителям БУs. С усилителей БУс и БУs сигналы соответственно поступают на два дифференциальных усилителя-сумматора ДУ-Сс и ДУ-Сs. Инверсия или суммирование входных сигналов в этих блоках осуществляются в соответствии с указанными на рисунках блоков ДУ-Сс и ДУ-Сs арифметическими знаками. Затем сигналы проходят через синхронные детекторы [9] СДhc, СДrc и СДhs, СДrs, содержащие выходные фильтры низких частот и используемые в качестве демодуляторов [4]. Синхронные детекторы СДhc, СДhs имеют опорное напряжение с высокой угловой частотой питания ёмкостных датчиков ( $\omega_h$ ), а детекторы СДrc, СДrs – опорное напряжение [4] с более низкой частотой (колебаний резонатора  $\omega_r$ ). Детекторы СДrc, СДrs, подключены соответственно к аналого-цифровым преобразователям АЦПс и АЦПs. На выходе АЦПс образуется оцифрованный сигнал  $A_c$ , а на выходе АЦПs – сигнал  $A_s$ .

Используя (4.21), (5.1)...(5.4) и производя операции сложения или вычитания амплитудно-модулированных сигналов  $u_{hRn}$  (в соответствии со знаками на ДУ-Сс и ДУ-Сs рис.6), можем иметь номинальные сигналы на выходах дифференциальных усилителей-сумматоров ДУ-Сс и ДУ-Сs с подавленной несущей:

$$\begin{aligned} u_{\text{выхДУ-Ссн}} &= k_{\text{буун}} \cdot k_{\text{дун}} \cdot (u_{hR1} + u_{hR5} - u_{hR3} - u_{hR7}) = \\ &= 4 \cdot \sqrt{2} \cdot k_{\text{буун}} \cdot k_{\text{дун}} \cdot \frac{E_h \cdot R \cdot x_{\text{ch0}}}{z_h^2 \cdot d} \cdot x_{\varphi 1} \cdot \sin(\omega_h t + \psi_{qh}) \cdot \cos(\omega_r t + \psi_r) = \\ &= k_{\text{дуХн}} \cdot x_{\varphi 1} \cdot \sin(\omega_h t + \psi_{qh}) \cdot \cos(\omega_r t + \psi_r); \end{aligned} \quad (5.5)$$

$$\begin{aligned} u_{\text{выхДУ-Сsн}} &= k_{\text{буун}} \cdot k_{\text{дун}} \cdot (u_{hR2} + u_{hR6} - u_{hR4} - u_{hR8}) = \\ &= 4 \cdot \sqrt{2} \cdot k_{\text{буун}} \cdot k_{\text{дун}} \cdot \frac{E_h \cdot R \cdot x_{\text{ch0}}}{z_h^2 \cdot d} \cdot x_{\varphi 2} \cdot \sin(\omega_h t + \psi_{qh}) \cdot \cos(\omega_r t + \psi_r) = \\ &= k_{\text{дуХн}} \cdot x_{\varphi 2} \cdot \sin(\omega_h t + \psi_{qh}) \cdot \cos(\omega_r t + \psi_r), \end{aligned} \quad (5.6)$$

где:  $k_{\text{буун}}$ ,  $k_{\text{дун}}$  – номинальные безразмерные коэффициенты передачи сигнала буферного усилителя и дифференциального усилителя-сумматора;  $k_{\text{дуХн}}$  – номинальная крутизна [В/мкм] экстремальных смещений  $x_{\varphi 1}$ ,  $x_{\varphi 2}$  для выходных сигналов с переменной амплитудой ДУ-Сс и ДУ-Сs (соответственно),

$$k_{\text{дуХн}} = 4 \cdot \sqrt{2} \cdot k_{\text{буун}} \cdot k_{\text{дун}} \cdot \frac{E_h \cdot R \cdot x_{\text{ch0}}}{z_h^2 \cdot d}. \quad (5.7)$$

На самом деле, из-за погрешностей параметров измерительной цепи и коэффициентов передачи несущая полностью не подавляется, и сигналы на выходах ДУ-Сс и ДУ-Сs отличаются от номинальных:

$$\begin{aligned} u_{\text{выхДУ-Сс}} = & \Delta u_{0\text{ДУ-Сс}} + \Delta u_{\text{мхДУ-Сс}} \cdot \sin(\omega_h t + \psi_{\text{ph}} + \Delta\psi_{\text{phс}}) + \\ & + (k_{\text{ДУХн}} + \Delta k_{\text{ДУХс}}) \cdot x_{\phi 1} \cdot \sin(\omega_h t + \psi_{\text{qh}} + \Delta\psi_{\text{qhс}}) \cdot \cos(\omega_r t + \psi_r); \end{aligned} \quad (5.8)$$

$$\begin{aligned} u_{\text{выхДУ-Сs}} = & \Delta u_{0\text{ДУ-Сs}} + \Delta u_{\text{мхДУ-Сs}} \cdot \sin(\omega_h t + \psi_{\text{ph}} + \Delta\psi_{\text{phs}}) + \\ & + (k_{\text{ДУХн}} + \Delta k_{\text{ДУХs}}) \cdot x_{\phi 2} \cdot \sin(\omega_h t + \psi_{\text{qh}} + \Delta\psi_{\text{qhs}}) \cdot \cos(\omega_r t + \psi_r), \end{aligned} \quad (5.9)$$

где:  $\Delta u_{0\text{ДУ-Сс}}, \Delta u_{0\text{ДУ-Сs}}$  – погрешностные постоянные составляющие выходных сигналов ДУ-С;

$\Delta u_{\text{мхДУ-Сс}}, \Delta u_{\text{мхДУ-Сs}}$  и  $\Delta\psi_{\text{phс}}, \Delta\psi_{\text{phs}}$  – амплитуды [В] и сдвиги [рад] фаз погрешностных

несущих составляющих (с постоянными амплитудами);  $\Delta k_{\text{ДУХс}}, \Delta k_{\text{ДУХs}}$  – отклонения

[В/мкм] крутизны экстремальных смещений  $x_{\phi 1}, x_{\phi 2}$  от номинального значения  $k_{\text{ДУХн}}$ ;

$\Delta\psi_{\text{qhс}}, \Delta\psi_{\text{qhs}}$  – погрешности [рад] начальной фазы составляющих с переменными амплитудами.

Соответственно из (5.8), (5.9) сигналы на выходах синхронных детекторов СДhc, СДhs имеют вид (постоянные составляющие  $\Delta u_{0\text{ДУ-Сс}}, \Delta u_{0\text{ДУ-Сs}}$  на выходы детекторов не проходят):

$$u_{\text{выхСДhc}} = (k_{\text{chн}} + \Delta k_{\text{chс}}) \cdot \Delta u_{\text{мхДУ-Сс}} + (k_{\text{chн}} + \Delta k_{\text{chс}}) \cdot (k_{\text{ДУХн}} + \Delta k_{\text{ДУХс}}) \cdot x_{\phi 1} \cdot \cos(\omega_r t + \psi_r); \quad (5.10)$$

$$u_{\text{выхСДhs}} = (k_{\text{chн}} + \Delta k_{\text{chs}}) \cdot \Delta u_{\text{мхДУ-Сs}} + (k_{\text{chн}} + \Delta k_{\text{chs}}) \cdot (k_{\text{ДУХн}} + \Delta k_{\text{ДУХs}}) \cdot x_{\phi 2} \cdot \cos(\omega_r t + \psi_r), \quad (5.11)$$

где:  $k_{\text{chн}}$  – номинальный безразмерный коэффициент передачи сигнала синхронного детектора СДh;  $\Delta k_{\text{chс}}, \Delta k_{\text{chs}}$  – безразмерные погрешности коэффициентов передачи сигналов синхронных детекторов СДhc и СДhs.

Откуда получаем сигналы на выходах синхронных детекторов СДгс, СДгs (постоянные составляющие, связанные с  $\Delta u_{\text{мхДУ-Сс}}$  и  $\Delta u_{\text{мхДУ-Сs}}$ , на выходы детекторов не проходят):

$$u_{\text{выхСДгс}} = \Delta u_{\text{ггс}} + (k_{\text{сгн}} + \Delta k_{\text{ггс}}) \cdot (k_{\text{chн}} + \Delta k_{\text{chс}}) \cdot (k_{\text{ДУХн}} + \Delta k_{\text{ДУХс}}) \cdot x_{\phi 1}; \quad (5.12)$$

$$u_{\text{выхСДгs}} = \Delta u_{\text{ггs}} + (k_{\text{сгн}} + \Delta k_{\text{ггs}}) \cdot (k_{\text{chн}} + \Delta k_{\text{chs}}) \cdot (k_{\text{ДУХн}} + \Delta k_{\text{ДУХs}}) \cdot x_{\phi 2}, \quad (5.13)$$

где:  $k_{\text{сгн}}$  – номинальный безразмерный коэффициент передачи сигнала синхронного детектора СДг;  $\Delta u_{\text{ггс}}, \Delta u_{\text{ггs}}$  и  $\Delta k_{\text{ггс}}, \Delta k_{\text{ггs}}$  – погрешностные постоянные составляющие [В] сигналов и безразмерные погрешности коэффициентов передачи синхронных детекторов СДгс и СДгs.

Из (5.12), (5.13) следуют сигналы ( $A_c, A_s$ ) на выходах аналого-цифровых преобразователей:

$$A_c = \Delta u_{\text{ацпс}} + (k_{\text{ацпн}} + \Delta k_{\text{ацпс}}) \cdot u_{\text{выхСДтс}} = c_2 + (k_{\text{ацпн}} + \Delta k_{\text{ацпс}}) \cdot (k_{\text{сгн}} + \Delta k_{\text{сгс}}) \cdot (k_{\text{чнн}} + \Delta k_{\text{чс}}) \cdot (k_{\text{дуХн}} + \Delta k_{\text{дуХс}}) \cdot x_{\varphi 1} = c_2 + (k_{\text{ацпХн}} + \Delta k_{\text{ацпХс}}) \cdot x_{\varphi 1}; \quad (5.14)$$

$$A_s = \Delta u_{\text{ацпс}} + (k_{\text{ацпн}} + \Delta k_{\text{ацпс}}) \cdot u_{\text{выхСДтс}} = c_1 + (k_{\text{ацпн}} + \Delta k_{\text{ацпс}}) \cdot (k_{\text{сгн}} + \Delta k_{\text{сгс}}) \cdot (k_{\text{чнн}} + \Delta k_{\text{чс}}) \cdot (k_{\text{дуХн}} + \Delta k_{\text{дуХс}}) \cdot x_{\varphi 2} = c_1 + (k_{\text{ацпХн}} + \Delta k_{\text{ацпХс}}) \cdot x_{\varphi 2}, \quad (5.15)$$

где:  $k_{\text{ацпн}}$  – номинальный безразмерный коэффициент передачи сигналов АЦП;

$\Delta u_{\text{ацпс}}$ ,  $\Delta u_{\text{ацпс}}$  и  $\Delta k_{\text{ацпс}}$ ,  $\Delta k_{\text{ацпс}}$  – остаточные постоянные составляющие [В] сигналов и безразмерные погрешности коэффициентов передачи сигналов АЦП;  $c_1, c_2$  – постоянные составляющие [В] сигналов  $A_s, A_c$ , не зависящие от величин смещений  $x_{\varphi 1}, x_{\varphi 2}$ ,

$$c_2 = \Delta u_{\text{ацпс}} + (k_{\text{ацпн}} + \Delta k_{\text{ацпс}}) \cdot \Delta u_{\text{сгс}} \approx \Delta u_{\text{ацпс}} + k_{\text{ацпн}} \cdot \Delta u_{\text{сгс}}; \quad (5.16)$$

$$c_1 = \Delta u_{\text{ацпс}} + (k_{\text{ацпн}} + \Delta k_{\text{ацпс}}) \cdot \Delta u_{\text{сгс}} \approx \Delta u_{\text{ацпс}} + k_{\text{ацпн}} \cdot \Delta u_{\text{сгс}}; \quad (5.17)$$

$k_{\text{ацпХн}}$  и  $\Delta k_{\text{ацпХс}}$ ,  $\Delta k_{\text{ацпХс}}$  – номинальная крутизна [В/мкм] экстремальных смещений  $x_{\varphi 1}, x_{\varphi 2}$  и отклонения их крутизны [В/мкм] от номинальной для выходных сигналов аналого-цифровых преобразователей АЦПс и АЦПс (соответственно).

$$k_{\text{ацпХн}} = k_{\text{ацпн}} \cdot k_{\text{сгн}} \cdot k_{\text{чнн}} \cdot k_{\text{дуХн}}. \quad (5.18)$$

Из (5.14), (5.15), пренебрегая произведениями погрешностей (малых величин), имеем

$$\Delta k_{\text{ацпХс}} \approx \Delta k_{\text{дуХс}} \cdot k_{\text{чнн}} \cdot k_{\text{сгн}} \cdot k_{\text{ацпн}} + k_{\text{дуХн}} \cdot \Delta k_{\text{чс}} \cdot k_{\text{сгн}} \cdot k_{\text{ацпн}} + k_{\text{дуХн}} \cdot k_{\text{чнн}} \cdot \Delta k_{\text{сгс}} \cdot k_{\text{ацпн}} + k_{\text{дуХн}} \cdot k_{\text{чнн}} \cdot k_{\text{сгн}} \cdot \Delta k_{\text{ацпс}}; \quad (5.19)$$

$$\Delta k_{\text{ацпХс}} \approx \Delta k_{\text{дуХс}} \cdot k_{\text{чнн}} \cdot k_{\text{сгн}} \cdot k_{\text{ацпн}} + k_{\text{дуХн}} \cdot \Delta k_{\text{чс}} \cdot k_{\text{сгн}} \cdot k_{\text{ацпн}} + k_{\text{дуХн}} \cdot k_{\text{чнн}} \cdot \Delta k_{\text{сгс}} \cdot k_{\text{ацпн}} + k_{\text{дуХн}} \cdot k_{\text{чнн}} \cdot k_{\text{сгн}} \cdot \Delta k_{\text{ацпс}}. \quad (5.20)$$

Выходные сигналы  $A_c, A_s$  из (5.14), (5.15), используя (5.1), можно представить в виде:

$$A_c = c_2 + (k_{\text{ацпХн}} + \Delta k_{\text{ацпХс}}) \cdot x_{\text{мх}} \cdot \cos 2\theta = c_2 + A_2 \cdot \cos 2\theta; \quad (5.21)$$

$$A_s = c_1 + (k_{\text{ацпХн}} + \Delta k_{\text{ацпХс}}) \cdot x_{\text{мх}} \cdot \sin 2\theta = c_1 + A_1 \cdot \sin 2\theta, \quad (5.22)$$

где:  $A_1, A_2$  – коэффициенты [В] пропорциональности зависимостей  $A_s(\sin 2\theta), A_c(\cos 2\theta)$ ,

$$A_2 = (k_{\text{ацпХн}} + \Delta k_{\text{ацпХс}}) \cdot x_{\text{мх}}; \quad (5.23)$$

$$A_1 = (k_{\text{ацпХн}} + \Delta k_{\text{ацпХс}}) \cdot x_{\text{мх}}. \quad (5.24)$$

В общем случае  $A_1 \neq A_2$  и относительная разность ( $\gamma$ ) коэффициентов  $A_1$  и  $A_2$  (безразмерная малая величина) равна:

$$\gamma = 2(A_1 - A_2)/(A_1 + A_2). \quad (5.25)$$

Подставляя выражения (5.23), (5.24) в (5.25), учитывая (5.18) и считая

$$\Delta k_{\text{ацпХс}}/k_{\text{ацпХн}} \ll 1, \quad \Delta k_{\text{ацпХс}}/k_{\text{ацпХн}} \ll 1, \quad (5.26)$$

имеем

$$\gamma \approx (\Delta k_{\text{ацпХс}} - \Delta k_{\text{ацпХс}})/k_{\text{ацпХн}}. \quad (5.27)$$

## 6. Выводы

6.1 Представленная работа исследует передачу сигналов ориентации стоячей волны, преобразуемых ёмкостными датчиками, в волновом твердотельном гироскопе (ВТГ). Проведён анализ формирования и прохождения этих сигналов (вызванных периодическими радиальными смещениями кромки резонатора ВТГ) по синусному («As») и косинусному («Ac») каналам до аналого-цифровых преобразователей (АЦП) при неподвижном основании ВТГ.

6.2 Используя электрический аналог математической модели конденсатора переменной ёмкости и символический метод расчёта электрических цепей, получены аналитические зависимости сигналов на входах буферных усилителей от параметров измерительных цепей ёмкостных датчиков при питании их от источников постоянного и переменного напряжения.

6.3 На примере работы функциональной схемы измерения угла ( $\theta$ ) положения стоячей волны при питании датчиков от источника переменной ЭДС показано формирование и получение выходных сигналов ( $A_s, A_c$ ) АЦП синусного и косинусного каналов. Эти сигналы имеют вид (5.21), (5.22) при различии коэффициентов  $A_1, A_2$  и неравенстве нулю коэффициентов  $c_1, c_2$ .

6.4 Рост модуля относительной разности ( $|\gamma|$ ) коэффициентов  $A_1$  и  $A_2$  обуславливается ростом модуля относительной разности (5.27) отклонений крутизны экстремальных смещений ( $\Delta k_{\text{ацпХс}}, \Delta k_{\text{ацпХс}}$ ) на выходах АЦПс и АЦПс. Эти отклонения могут быть вызваны (см. (5.19), (5.20)) накопленным отличием, как в параметрах сигналов отдельных датчиков, так и в коэффициентах передачи блоков в каналах «As» и «Ac».

6.5 Отличие постоянных составляющих ( $c_1, c_2$ ) сигналов  $A_s, A_c$  от нуля, вызвано (5.16), (5.17) наличием постоянных составляющих сигналов (нулевых сигналов) на выходах СДн и АЦП.

6.6 Вероятность увеличения погрешностей по п. 6.4 выше, чем по п. 6.5, так как в п. 6.4 участвуют гораздо больше параметров и коэффициентов передачи.

## Библиографический список

1. Журавлев В.Ф., Климов Д.М. Волновой твердотельный гироскоп. – М.: Наука, 1985.-125 с.
2. Пельпор Д.С. и др. Гироскопические приборы и системы. – М.: Высш. шк., 1988.-424 с.
3. Матвеев В.А., Липатников В.И., Алехин А.В. Проектирование волнового твердотельного гироскопа. – М.: Изд-во МГТУ им. Баумана, 1998.- 168 с.
4. Матвеев В.А., Лунин Б.С., Басараб М.А. Навигационные системы на волновых твердотельных гироскопах. – М.: ФИЗМАТЛИТ, 2008.- 240 с.
5. Нуберт Г.П. Измерительные преобразователи неэлектрических величин.- Л.: Энергия, 1970.- 300с.
6. Боднер В.А., Алфёров А.В. Измерительные приборы: В 2 т.-М.: Изд-во стандартов, 1986. Т.1. Теория измерительных приборов. Измерительные преобразователи. – 392с.
7. Мачехин П.К. и др. Твердотельный волновой гироскоп// Патент РФ. 7G01C 19/56. RU 2196964. (2003).
8. Лунин Б.С. Физико-химические основы разработки полусферических резонаторов волновых твердотельных гироскопов. – М.: Изд-во МАИ, 2005.- 224 с.
9. Куликовский К.Р., Купер В.Я.. Методы и средства измерений. М.: Энергоатомиздат, 1986.- 448с.

## Сведения об авторе

Захаров Александр Александрович, ведущий инженер ОАО «ГосНИИП», 129226, Москва, проспект Мира, 125, телетайп 112654, e-mail: corund@netbynet.ru